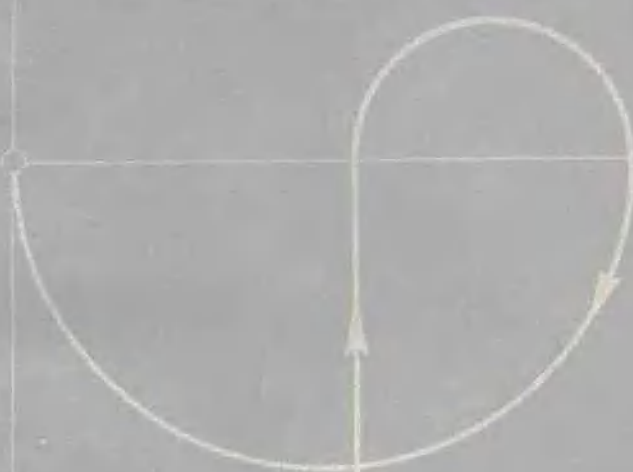


自动化丛书



# 现代遥测系统

(苏联) R. A. 库别尔什米特等著 翁公平译

上海科学技术出版社



# 现代遥测系统

〔苏联〕Я. А. 庫別爾什米特, B. C. 馬洛夫, A. M. 普申尼奇尼科夫 著

徐心平 譯 吳培根 校



上海科学技术出版社

4449

2049

內容提要

本书是“自动化丛书”之一。丛书內容包括自动学及运动学的理論，自动装置、元件和仪器的结构及应用等。丛书选題主要取自苏联及其他国家的有关資料，也包括国内編写的专题論著。本丛书由“自动化丛书編輯委员会”主編。

本书簡要地評述了工业遙測系統目前发展的情况，介紹了一些已生产的装置，主要偏重于叙述各种遙測裝置的基本原理，最后討論了遙測技术发展的方向。

本书可供从事工业自动化和运动化方面的工程技术人员参考。

Я. А. Куперман С. Малов А. М. Пшеничников

Редакторы 1963

自动化丛书(20)

现代遙測系統

徐心平譯 吳培根校

自动化丛书編輯委员会主編

上海科学技术出版社出版 (上海瑞金二路450号)

上海市書刊出版业营业許可證出 033号

商务印書館上海厂印刷 新华书店上海发行所发行

开本787×1092 1/32 印张3 16/32 印数76,000  
1963年8月第1版 1963年8月第1次印刷 印数1—4,500

统一书号 15119·1743 定价(十二) 0.42元

## 譯 者 序

本书介紹現代工业遙測技术的一般概况，总结了实现工业生产过程的远距离檢測的各种方法及其特点、适用的場合；举出了許多新型的、有代表性的遙測裝置，介绍了它們的工作原理和技术指标，最后还闡述了现代遙測技术的发展趋向。由于这本小册子偏重于对实现遙測的具体方法及实际裝置的工作原理的介紹，因此对于从事自动化、远动化工作的工程技术人员，是一本較合适的讀物。

近作用式的（强度制）遙測系統，由于原理比較简单、成熟，所以叙述較簡單。对于远作用式的系統（频率系統和時間系統）則介紹得較詳細，特別是低頻频率制或脉冲频率制以及长周期的脉冲時間制遙測系統在工业遙測中最为合适，因此列举了較多的实际裝置。这些裝置都是采用最新的无触点元件构成的，其中許多已是国外定型产品，对于讀者研究制作类似裝置，有着实际的参考价值。电碼制遙測系統和多路遙測系統在遙測技术中都占有特殊的地位，书中介紹得也比較詳細。

由于科学技术的不断发展，最近提出了許多組成遙測系統新的想法，虽然許多还属于探索性的研究工作，很难断言其結果。但作者在本书的最后现代遙測技术最重要的发展趋向一章中，对采用新元件，建立綜合远动系統，采用断續（数字）的方法等进行了闡述，着重介绍了数字方法遙測在准确度和抗扰性方面的优点，讀者从中还可以了解到抗扰电碼、自校正电碼、有效編碼以及預測編碼等最新技术的简单概念，定会感到兴趣。

徐心平

1963年2月

# 目 录

## 譯者序

|             |                     |     |
|-------------|---------------------|-----|
| <b>第1章</b>  | <b>远距离测量的一般概念</b>   | 1   |
| <b>第2章</b>  | <b>强度制遙測系統</b>      | 7   |
| 1.          | 不平衡式电流系統            | 8   |
| 2.          | 平衡式电流系統             | 12  |
| <b>第3章</b>  | <b>脉冲时间制遙測系統</b>    | 17  |
| 3.          | ДНИКА 脉冲时间制系統       | 19  |
| 4.          | ИАТ 遙測系統            | 22  |
| <b>第4章</b>  | <b>頻率遙測系統</b>       | 25  |
| 5.          | 頻率遙測系統的一般特性         | 25  |
| 6.          | 脉冲頻率制系統             | 27  |
| 7.          | 頻率制系統               | 40  |
| <b>第5章</b>  | <b>脉冲电碼制遙測系統</b>    | 52  |
| 8.          | SECRE (法国) 系統       | 54  |
| 9.          | ВНИИЭ 系統            | 58  |
| 10.         | ДНИКА 系統            | 64  |
| 11.         | 乌克兰国家計劃局自动化研究所研究的系統 | 69  |
| <b>第6章</b>  | <b>多路遙測系統</b>       | 74  |
| 12.         | ИАТ 系統              | 80  |
| 13.         | ДНИКА 系統            | 81  |
| 14.         | ДНИКА 脉冲幅度制装置       | 87  |
| 15.         | SECRE 脉冲电碼制系統       | 90  |
| <b>第7章</b>  | <b>现代遙測技术发展的方向</b>  | 93  |
| 16.         | 采用新元件               | 94  |
| 17.         | 建立综合运动系統            | 94  |
| 18.         | 遙測中应用断續作用(数字)的方法    | 95  |
| <b>参考文献</b> |                     | 105 |

本书目录由中译本编者重新编排

第一章

1965.9.2

圖書館

远距离測量的一般概念

各种自动檢測裝置是生产過程控制系统不可缺少的一部分，这些裝置包括自动测量仪表和訊号裝置。自動檢測裝置組成的原則，通常要在不甚遠的距离範圍內（几十米到1~2公里），保証能傳送生产過程运行的訊息。这类裝置可用于企业或車間內部，进行集中檢測，以实现从一个地方（控制站）来監視各个生产装备的工作情况。

当集中檢測的范围扩大时，普通的自動檢測系統可能不适用，在大型企业内部（冶金联合企业、化学工厂等），每个生产工段与控制站間連接的通訊線长度甚至达到几公里，在采油場、采气場、水利灌溉系統里集中檢測时，訊息需要傳送的距离更远，特別是动力系統、輸油管、輸氣管道在这方面更有代表性，这里每个被檢測点（动力系統中的发电站、变电所，管道系統中的压缩机站和泵站）和控制站（調度站）間的距离达到几百公里，有时甚至超过1千公里。在类似的情况下，为了自動檢測就需要专门的傳送訊息的裝置——远动裝置，遙測系統就属于这种裝置。因此遙測系統是一种特殊的自動測量系統，它具有远动裝置的特点，即能在很远的距离內傳送被測量。

远距离傳送被測量的訊息时，技术上最大的困难在于消

除或減小由於通訊線工作特性改變或干擾作用所引起的誤差。此外，必須最經濟地利用通訊線，採用多路復用的方法。

遙測系統應當解決兩個任務——保證遠距離傳送被測量的準確度和經濟地利用有線或無線通道。

當需傳送活動目標如火箭、飛機上的數據時，遙測系統具有特殊意義。顯然，在這種條件下，原則上不能用普通的測量系統，要利用火箭、人造衛星和宇宙飛船研究宇宙空間得到的大量寶貴的科學資料，也只有利用遙測裝置才能將其傳送到地球上來。

在這本書里僅研究用於靜止的工業對象的一些遙測系統。

遙測方法的實質在於將被測量轉換為訊號，使其在通訊線上傳送時失真最小。



圖1 遙測系統一般方框圖

1—變送器(一次變換器)； 2—遙測系統發送器；

3—遙測系統接收器； 4—輸出儀表

圖1為遙測系統的一般方框圖。被測物理量 $x$ 通過變送器1(一次變換器)轉換為電量 $z$ (變化的電流、電壓、電阻、電容或電感)，後者經發送器2變換為訊號 $y_1$ ，被送入通訊線，在接收端，訊號 $y_2$ 被加到接收器3的輸入端，接收器再接到輸出儀表4上，後者重新復現出被測量的大小。

遙測系統中可以利用連續訊號(模擬訊號)，也可以用斷續訊號①。在前一種情況下，在發送器中進行函數轉換或調

① 這裏和後面所使用的術語“斷續訊號”是指訊號值是斷續的，用有限個訊號傳送連續的被測參量。——原注

制。作为讯号可以采用一定大小的直流或交流电流(电压),或者是按振幅、频率或时间(宽度、相位)调制的电振荡或电脉冲,这时电流(电压)的大小或调制参数的大小与被测量成单值函数关系,接收器测量此电流(电压)或解调此讯号。

最简单的遥测系统中,随被测量改变的是电流或电压值,这种系统称作为强度制遥测系统,而采用交流频率调制或脉冲调制的系统,称为频率遥测系统和脉冲遥测系统。

图2为脉冲及频率遥测系统的讯号波形图,图2中1为

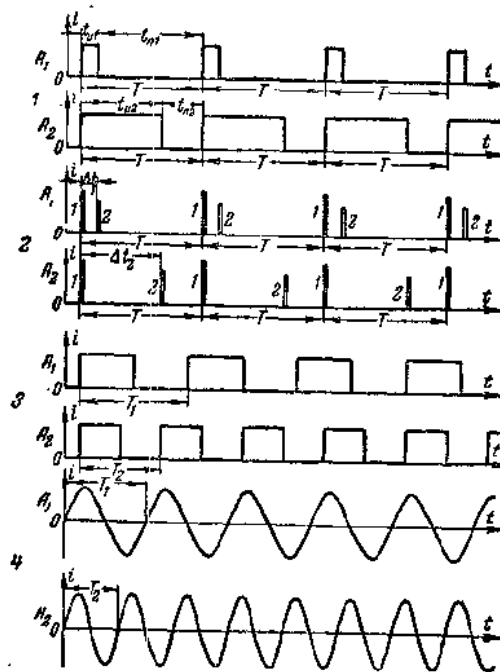


图2 频率和脉冲遥测系统的讯号波形图

- 1—脉冲宽度调制； 2—脉冲相位调制；
- 3—脉冲频率调制； 4—频率调制(交流频率)

按脉冲延续期调制的讯号，通常又称为脉冲宽度调制(ПИМ)讯号，这里脉冲的延续期是被测量的函数

$$t_n = \varphi(x)$$

上面的图形假设为对应于被测量为最小值。

图2中2为脉冲相位调制(ФИМ)的讯号，这时窄脉冲在时间轴上的相对位置(相位)随被测量变化。

脉冲宽度及脉冲相位调制遥测系统组成了脉冲时间制系统。

图2中3和4为两种不同的频率制遥测系统的讯号波形，3属于脉冲频率调制(ЧИМ)系统，这时脉冲频率是被测量的函数

$$f = \varphi(x)$$

图2中4为交流频率制遥测系统的讯号波形，即正弦振荡频率调制(ЧМ)系统。

在断续讯号系统中，发送器实现了整量化和编码作用。整量化在于将被测量值  $x$  的连续数列变为有限数列，有限数列中的两相邻数值彼此之间通常相距同样的间隔  $\Delta x$  (整量距)。

图3说明整量化的作用。这样，被测量变化的区间  $(x_{\max} - x_{\min})$  被分成  $N$  个值，而

$$N = \frac{x_{\max} - x_{\min}}{\Delta x}$$

在编码过程中每个值被表示为一定的脉冲组合(电码)。用断续讯号表示被测量值的连续数列所引起的遥测误差，取决于整量距  $\Delta x$  的大小。电码制的组成原理将在后面阐明(第5章)。

断续讯号遥测系统亦属于脉冲和频率遥测系统的一类。

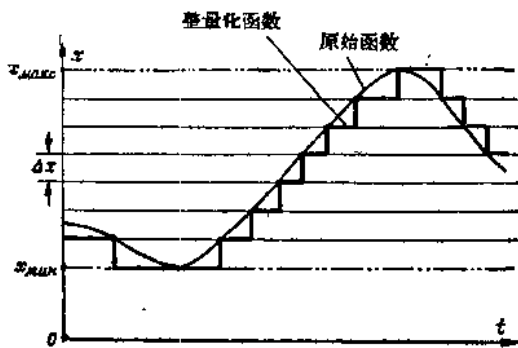


图3 整量化过程图解

有专用导线传送讯号时可采用强度制遥测系统，这时其作用距离不大（10~30公里以内），因为随通讯线长度增加，由于通讯线参数变化（导线电阻和绝缘电导）电流（电压）值随之改变，由此所引起的误差将增加到不能允许的值。

频率和脉冲系统可以在很长的而且参数不稳定的通道上工作，其中包括有线通道或高压输电线以及无线电通道。

在许多情况下，为了经济地利用通讯线，需要沿一根线传送若干个被测量的值。为此目的，可以应用多路遥测系统，在这种系统中有两种基本的讯号划分方法：频率划分和时间划分。

频率划分时，分给每个讯号一定的频带，为了限制讯号间的相互影响，用保护间隔将工作频带分开，各个不同频率的讯号沿通讯线同时传送，而在接收端再用滤波器将其分开。

时间划分时，讯号是按时间顺序传送。为了实现时间划分，利用两个同步的换接开关，将对应的遥测发送器和接收器轮流接到通讯线上。

往往根据生产装备运行的条件，要求测量足够多的参量，

但并不需要連續測量，而仅仅在需要时測量。在类似的情况下連續傳送所有的数据就不合适了，这将造成毫无益处地占用通訊線，因此宜采用選擇遙測或称为呼喚遙測。

这时一个公共的通道就够了，根据需要将所需的遙测仪表接到該通道上。通常发送装置和接收装置中都各有一个公共的遙测变换器（发送器或接收器），而且通常输出仪表也是一个公共的，或分成几組，而需要接通的仅仅是独立的一次变换器（变送器）。被測參量的数目实际上可以无限多。为了从接收端選擇被測參量，可通过選擇器送出一个呼喚訊号，为此目的一般利用一个有独立通道的遙控装置。

## 第2章

### 强度制遙測系統

强度制遙測系統中被測量多半用直流电流或电压沿通訊綫傳送，在接收端直流电流是用磁電式仪表測量，电压是用自动电位差計測量，用它測量电压不消耗功率。最廣泛应用的是傳送直流电流的强度制系統，应用交流电流时由于干扰作用（交流感应）和通訊綫电感及电容的变化将引起附加誤差。

强度制系統可以是不平衡式即无补偿式的，也可以是平衡式即补偿式的。在不平衡式系統中借电路中的有效电阻、电感、电容、互感的改变，或利用变压器将被測量轉換为电流或电压的变化。在平衡式轉換時，通訊綫中电流与被測量間的关系自動地維持不变，这靠調節裝置来完成，調節裝置可以是无差調節，也可以是有差調節。

在强度制遙測系統中，傳送訊息可以用電纜綫和架空綫，用電纜綫傳送距离为 20~25 公里，而架空綫为 7~10 公里，这是由于電纜綫实际上沒有漏电，而架空綫的漏电可能很大，且随气候条件而改变。

强度制系統中所用的将被測量变换为直流电流的遙測发送裝置，經常也被用做为远作用式遙測系統、多点檢測系統和自動調節系統中的变送器。

## 1. 不平衡式电流系統

按正比或函数关系将被测参量轉換为电流可以通过变换测量仪表的轉角来达到，也可以用不带可动元件的靜止式轉換器来实现。在前一种情况下，一次测量仪表的活动部分以某种方式与滑綫电阻的滑动臂或感应式轉換器的綫框相連接；第二种类型的装置或者是对被测参量进行简单的变压(测量电流或电压)，或者进行函数轉換(测量功率)。

目前苏联“配電盤”工厂已生产了整流式和感应整流式遙測裝置，前者用于測量电流和电压，后一种用于測量功率、壓力和液位。这些裝置在一些文献中[1, 2, 8]已有了詳細的介紹，所以这里不再討論。

不平衡式强度制遙測系統中，令人最感兴趣的是靜止式功率遙測裝置，这种有功功率变送器的輸出电流应为

$$i = kUI \cos \varphi$$

式中  $k$ ——比例系数；

$U$ ——电网电压；

$I$ ——电网电流；

$\varphi$ ——电网电压及电流間的相角差。

在大多数靜止式功率轉換器中均采用保証輸入及输出參量間为平方关系的元件。为了做成平方元件可以利用电子管特性曲线中的平方段、氧化銅整流器的平方特性、飽和电抗器中或碳化硅电阻中的电压与电流間的平方关系以及加热电流与热电势之間的平方关系等。

图 4 为莫斯科动力管理局 ПЛЭМ① 研究的所謂磁性功率变送器綫路，其中用飽和电抗器作为平方元件。电压互感器的

① 莫斯科动力管理局电机制造中心試驗室。——譯注

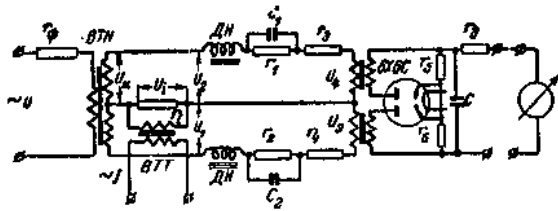


图 4 单相磁性功率变送器原理图

BTH—变送器的电压互感器； BTT—变送器的电流互感器；  
 ΔH—饱和电抗器

电压和电流互感器的电流通过辅助变换器 BTH 和 BTT 被加到饱和电抗器电路中，使一个电路里加的电压为  $\dot{U}_1 = \dot{U}_v + \dot{U}_t$ ，而另一个为  $\dot{U}_2 = \dot{U}_v - \dot{U}_t$ 。<sup>①</sup>

通过电阻  $r_\phi$  建立了电压  $\dot{U}_v$  和  $\dot{U}_t$  间的相角差，其大小等于测量电路的电压  $\dot{U}$  和电流  $\dot{I}$  间的相角差  $\varphi$ 。此装置的输出电流正比于输出变压器原绕组上的电压差

$$i = k_1(U_3 - U_4)$$

由于电阻  $r_3$  和  $r_4$  的作用建立了以下的工作状态

$$U_3 = k_2 U_1^2 = k_2 (U_v^2 + U_t^2 + 2U_v U_t \cos \varphi)$$

$$U_4 = k_2 U_2^2 = k_2 (U_v^2 + U_t^2 - 2U_v U_t \cos \varphi)$$

因此，输出电流

$$i = 4k_1 k_2 U_v U_t \cos \varphi = kUI \cos \varphi$$

电容器  $C_1$ 、 $C_2$  和电阻  $r_1$  和  $r_2$  用于减少线路对频率的依从关系。

遙測裝置上用的 МДМ-3 型磁性功率变送器已由莫斯科动力管理局 ДЭМ 生产，动力系統的功率和頻率調節器中用的输出功率为 25 毫瓦的 МДМ-4 型磁性功率变送器已由罗

① 原文为  $\dot{U}_2 = \dot{U}_v - \dot{U}_t$ 。——校注

斯托夫动力管理局 ЭРЗ❶ 生产。

当通訊綫电阻为 3000 欧时, МДМ-3 型单相变送器的额定输出电流为 1 毫安; 基本誤差为 1%; 由于电网电压波动  $\pm 10\%$ ,  $\cos \varphi$  从 0 变到 1, 环境温度变化  $20^{\circ}\text{C}$ , 频率从 48 赫变到 51 赫所引起的附加誤差(每个因素单独变化时)均为 1%; 線路电阻变动 300 欧(10%)引起的誤差不超过  $\pm 0.5\%$ 。

三相磁性功率变送器可以由两个单相的組成, 輸入按两瓦計法的測量緜路连接, 輸出并联连接。

磁性功率变送器的严重缺点在于其输出指示值与电压和电流的波形有关。

苏联“配电盘”工厂所試制和生产的将功率变换为直流电流的变换装置采用另一种原理构成。这种单相变换器的原理图如图 5 所示。

两个相同的变压器  $T_1$  和  $T_2$  上有控制繞組  $w_1$ 、工作繞組  $w_2$  和輸出繞組  $w_3$ , 鐵心由具有矩形磁滞回綫的玻莫合金构成。这两个变压器的工作状态可分为控制半周和工作半周, 在控制半周中鐵心为工作半周做“准备”。两个鐵心中磁通的变化是不同的, 因为加在一个变压器的繞組  $w_1$  上的是电压差  $u_1 - u_4$ , 而加在另一个变压器的类似繞組上的是电压和  $u_1 + u_4$ , 电压  $u_4$  正比于被測回路的电流  $i$ 。

在工作半周时间里, 繩組  $w_2$  回路导通, 变压器鐵心在饱和以前在輸出繞組  $w_3$  回路里进行了能量的交換, 在繞組  $w_3$  上感应的脉冲电压打开了半导体三极管  $HT-1$  和  $HT-2$  构成的开关。

变压器鐵心饱和所需的时间正比于控制半周繞組  $w_1$  上所加的电压值, 反比于工作半周中作用的电压  $U_2$ ,  $U_2$  值应大

❶ 罗斯托夫动力管理局电气修理工厂。——譯注

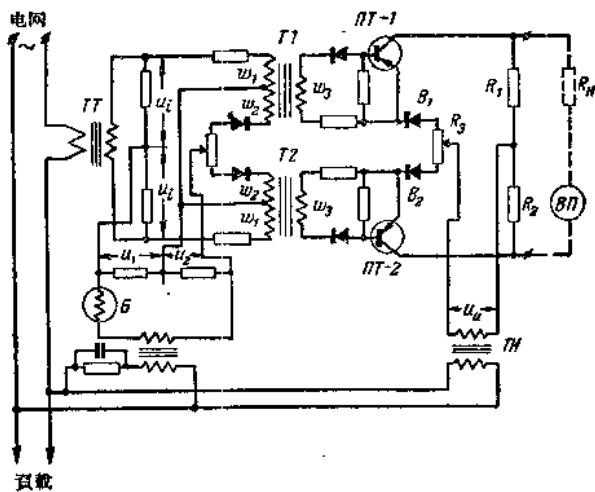


图5 利用有矩形磁带回线的磁元件构成的功率转换器  
 TT—电流互感器； TH—电压互感器； T1、T2—变压器；  
 B—镇流管； BII—输出仪表

于控制半周中加在繞組  $w_1$  上的最大电压值。

为了使电压  $U_1$  和  $U_2$  稳定，線路中用了鎮流管  $B$ 。在鐵心饱和以后半导体三极管  $HT-1$  和  $HT-2$  关闭。

指示仪表  $BII$  接在电桥的对角线上，此电桥由电阻  $R_1$  和  $R_2$ 、半导体三极管  $HT-1$  和  $HT-2$ 、二极管  $B_1$  和  $B_2$  及电阻  $R_3$  构成，桥的另一个对角线上接入此变送器的电压互感器  $TH$  的次級繞組。

線路输出的平均电压

$$U_{cp} = \frac{k_1}{T} \int_0^T \left[ \int_0^{t_1} u_u dt - \int_0^{t_2} u_u dt \right] dt$$

式中  $T$ ——周期；

$k_1$ ——比例系数。

根据上面所述，可以写出

$$t_1 = k_2(U_1 + u)$$

$$\text{和} \quad t_2 = k_2(U_1 - u)$$

将  $t_1$  和  $t_2$  值代入  $U_{ep}$  的表示式中，經变换后可得

$$U_{ep} = \frac{k_1}{T} \int_0^T 2k_2 u_i u_t dt = kUI \cos \varphi$$

因此，該线路的输出电压正比于被测功率。

CBIIA-1型三相有功功率变换器包括两个单相单元，将它们按三线制两瓦计法测量有功功率的线路接入被测回路。它与单相不同之处在于，三极管开关的输出电路工作于一个公共的负载上。

变送器相应于额定被测功率时的输出电流为1毫安，输出电路允许最大有效电阻为1500欧。

在正常条件下，输出电流与被测回路功率间的非线性偏差不超过1.5%；环境温度在-10~+40°C的范围内，每变化10°C引起的附加误差不超过1.5%。

当被测回路功率没有改变而电压偏离额定值±15%时，引起变换器输出电流的变化不超过1.5%。

## 2. 平衡式电流系统

在平衡系统中，由被测量和流过通訊线的电流所建立的两个参数（机械的或电的）連續地进行比較。根据被比較的参数不同，平衡系统可以分为两大类：补偿一次测量仪表轉矩的系统；补偿由被測值所决定的辅助电量的系统。正如前面指出的，平衡式装置可以分为有差和无差调节的系统，通常有差系统比无差系统简单，它实质上是一个带电流负反馈的放大器。

电流补偿系统中，通訊线上的电流在很宽的范围内与线